

"Estudio sobre difusión a través de fases"

BIBLIOTECA FAC. DE QUIMICA

Méjico, Noviembre, 1967

Javier Andry Sánchez



UNAM – Dirección General de Bibliotecas

Tesis Digitales
Restricciones de uso

DERECHOS RESERVADOS ©
PROHIBIDA SU REPRODUCCIÓN TOTAL O PARCIAL

Todo el material contenido en esta tesis está protegido por la Ley Federal del Derecho de Autor (LFDA) de los Estados Unidos Mexicanos (Méjico).

El uso de imágenes, fragmentos de videos, y demás material que sea objeto de protección de los derechos de autor, será exclusivamente para fines educativos e informativos y deberá citar la fuente donde la obtuvo mencionando el autor o autores. Cualquier uso distinto como el lucro, reproducción, edición o modificación, será perseguido y sancionado por el respectivo titular de los Derechos de Autor.

21
SANTOS, PAC. DE GUERRA

SANCHEZ, JAVIER

INTRODUCCIÓN.

Desde un punto de vista amplio esta tesis trata sobre experimentos en difusión a través de interfaces, en el sentido el estudio de este tema en la Ingeniería Química, por ser los procesos permanentemente difusionales una de las formas más importantes de transferir masa, como puede ser en la extracción por solvente, en las reacciones heterogéneas Líquido-Líquido, en la difusión Líquido-gas. El estudio de la Teoría de la Difusión y las correlaciones que de ello resultan tienen gran interés práctico, ya que pueden contribuir a una mejoría en el diseño de extractores por solvente en cualquier sentido.

El contenido básico de la difusión a través de disoluciones, se apoya en el conocimiento de la teoría de la difusión.

La Teoría de la Difusión Líquido-Líquido no se encuentra lo suficientemente desarrollada como para predecir el resultado de los experimentos. Esto se debe en parte a que no se le ha dado debida importancia al estado líquido y no existen todavía teorías adecuadas que permitan conocer las variaciones de las propiedades en función de las concentraciones, de manera que los coeficientes de difusibilidad en líquidos se determinan experimentalmente.

La difusión es un fenómeno que consiste en la transferencia de un soluto en una región de mayor actividad a una de menor actividad.

Como en todo fenómeno de transporte la rapidez de la transferencia depende de un término de resistencia, de un término de difusión de material difundido o como se conoce

Los primeros trabajos sobre difusión, fueron realizados por Tomás Graham, y de los cuales salió la Ley de Graham sobre difusión gaseosa.

De los más importantes trabajos sobre difusión, son los de Adolf Fick; sus leyes son análogas a las de Fourier sobre transporte de calor y a las de Ohm sobre conductividad; la primera Ley:

$$J = -D \frac{dc}{dx}$$

siendo J el flujo unidireccional en moles por centímetro cuadrado por segundo y D el coeficiente de difusión. Esta Ley es similar a la de Transferencia de Calor de Fourier y D se puede considerar el equivalente de la conductividad térmica. En este caso la unidad del coeficiente de difusión son cm²/seg. y depende de los componentes del sistema que se trate; por lo tanto se tiene la llamada Segunda Ley de Fick:

$$\frac{Dc}{dt} = -\frac{d}{dx} \frac{D \frac{dc}{dx}}{}$$

En el caso especial en que D no dependa de la concentración a lo largo de la difusión, se tiene:

$$\frac{dc}{dt} = -D \frac{d^2c}{dx^2}$$

el valor del coeficiente D , en el caso de gases tiene una definición teórica y es una función de la velocidad promedio de las moléculas en dirección del flujo, y del camino libre medio de las moléculas.

A las ecuaciones de Fick se les han sugerido cambios como el usar la presión osmótica, en vez de la concentración o una presión disgregante, así mismo la actividad de uno de los

concentración.

Como quiera que sea las fórmulas de Smetski, y como son las mismas aquí, son las Leyes de Pick como se escriben anteriormente.

J. S. Davies escribe con amplitud los valores que tiene las resistencias para los sistemas como líquido-líquido, — líquido-gas, a diferentes condiciones. Un resumen de los datos escritos por Davies se da a continuación:

| | L-L | L-G | líquido-gas |
|---------------------------------|--|------------------------------------|-------------------------------|
| Resistencia de 16 grados. | 100-10.000 seg/cm. 10^2-10^3 seg/cm. | — | — |
| Resistencia de la interfase. | Máximas de 1000 seg/cm. | Entre 0 y menor de 1000 seg/cm. | entre 1000 y 10000 seg/cm. |
| Resistencia — del gas. | — | 5-50 seg/cm. | — |

ESTUDIOS MECÁNICOS:- En estudios con colas estacionarias se muestra que la resistencia interfacial se aumenta por la presencia de una unión más o menos que se trate de una polímero de polímeros o de varillas uniformes. La emulsión aglutinada no — afecta la transferencia. Los resultados se muestran en varios — cuadros:

Tipo Galda en Agitación.

Método de Análisis:- Sistema óptico para observar — la concentración en la velocidad ($\approx 10 \text{ ml.}$) de la interfase.

Transferencia De las concentraciones de difusión entre el sistema — yace estableciéndose en la interfase.

$$C_2^* = \frac{C_2}{1 - (C_2/C_1)^2} = 1 - (C_2/C_1)^2 \text{ con } \frac{C_2}{C_1} = \frac{K}{D_2 t^{1/2}}$$

$$C_2^* = \frac{K}{2(D_2 t)^{1/2}} \text{ erfc } \frac{K}{2(D_2 t)^{1/2}}$$

atiendo

erfc y =

por otro lado:

$$q = C_2 d_x = 2C_2 x \cdot D_2^{1/2}$$

siendo R la rapidez de absorción por unidad de área, de la dis-
tensibilidad C_0 la concentración en el caso del líquido y x_L —
el espesor de la película.

Sin embargo las condiciones requeridas para mantener
una película uniforme sobre la superficie libre de un líquido
agitado no parecen tener razón y es más probable que la turbu-
lencia se extienda hacia la superficie y que la existencia de
la anterior película sea puramente tentativa. En particular si
se considera un líquido que fluye sobre un espesor de una te-
rraza de absorción aparece que la capa de superficie del líquido
se mantienen adherida a través de todos los elementos del fluido
del flujo.

La naturalidad exigida de la película del líquido ha
sido grandemente sospechada aunque constantemente se mantiene
que es realmente existente. Esto puede ser debido a mucha
probabilidad entre ellos el uso conveniente como medida de la ra-
pidez de absorción de acuerdo con las expresiones

$$R = k_L (C^* - C_0)$$

siendo k_L el coeficiente de transferencia de masa de la película
del líquido, que es constante para un líquido dado y un gas
bajo condiciones dadas. Sin embargo, si el modelo de película —
es en realidad falso uso puede llegar a resultados erróneos si
se usa como la base para teorías las cuales relacionan el co-
eficiente de transferencia de masa a las concentraciones de ope-
ración.

Este puede ser entonces de valor medir la inutilidad de la ecuación anterior en la hipótesis de que no hay agitación para considerar una políscala del líquido estancado y dará ver expresiones más realistas del proceso que ocurre durante la absorción en un líquido agitado.

Sugiriendo que no existen reacciones químicas, la dependencia derivada para la rapidez de absorción son similares a las basadas en la teoría de la políscala, pero tienen un efecto distinto al de coeficiente de políscala del líquido.

ABSORCIÓN EN UN LIQUIDO ESTANCADO.- Se va a considerar en qué lugar los gases dentro de la superficie del líquido están en equilibrio con el gas en todo momento y que no hay reacción química entre soluto y solvente.

Si la ley de la difusión normal se aplica en el líquido, la rapidez de absorción (medida por unidad de área y por unidad de tiempo) dentro de un líquido estancado

$$(0) = (C - C_0) \frac{A}{t}$$

siendo t el tiempo de exposición del gas a la superficie del líquido y C_0 la concentración inicial.

Se puede ver que a menos que la superficie esté expuesta por agitación o convección la rapidez de absorción llega a ser lenta, después de cierto tiempo. Agua estancada absorberá normalmente en una hora una cantidad de gas equivalente a una capa estancada de dos milímetros de espesor (teniendo a $D = 0.00001 \text{ cm}^2/\text{seg.}$) si la profundidad de penetración se da

sino arbitrariamente como la profundidad a la cual la concreción
está en contacto de la superficie, la absorción será igual
a 3.6 kg^3 al cual tiene un valor de seis milímetros en el caso
de una hora.

MOVIMIENTO EN UNA SUPERFICIE DE LÍQUIDO AGITADO.- Cuando un líqui-
do está en movimiento turbulento es un conjunto de rizadas
que instantáneamente cambian su configuración y su posición. Estas
rizadas son vistos a menudo de que continuamente expulsan su
superficie nueva al gas mientras que regresan al seno del líquido
de partes de la superficie del líquido que ha estado en contacto
con el gas, por distintos períodos de tiempo. Las siguientes
suposiciones serán hechas durante el tiempo de exposición de
cualquier parte del líquido que libera gas dado por la ex-
presión anterior. Este primer supuesto es que la turbulencia es
mayor que la profundidad de penetración del colchón disolvente
se daña la superficie, así que el movimiento relativo del líqui-
do a diferentes niveles en la inmediata vecindad de la super-
ficie, se puede no tener en cuenta y que gradientes de velocidad
no existen debajo de la superficie.

Considerándose un líquido que se mantiene en movimiento
turbulento por agitación a una velocidad uniforme, el área total
de la superficie está expuesta al gas y se tomó como la
única y que la rapidez de liberación es uniforme en todo el
área. El movimiento del líquido reemplazará continuamente con
superficie fresca aquellas partes que son las más viejas de la
superficie o sea las que han tenido un determinado tiempo de

expresión. La rapidez media de profusión de superficie es — constante e igual a s , y el cambio de un elemento de superficie remplazado dentro de un tiempo dado se asume que es independiente de su edad; en consecuencia, la rapidez de remplazamiento de los elementos pertenecientes a cualquier grupo de edad es igual a s .

Sea el área de la superficie que comprende a aquéllos elementos teniendo edades entre t y $(t + dt)$ igual a $s(t)dt$. Al estado continuo esto no varía con el tiempo, así en un corto intervalo de tiempo igual a dt , el área que entra a el grupo de edad $t, \dots (t+dt)$ desde el grupo de edad $(t-dt), \dots t$ será $-s(t+dt)dt$. Esto también es igual al área en el grupo de edad $(t - dt)$ más la porción de este que es remplazado por los en posibles frescos en un tiempo igual a dt . Esto es

$$s(t)dt = s(t-dt)dt(1-sdt)$$

en consecuencia $s(t)$ igual a $s(t)-s(t-dt)$ (sdt)

$$\frac{ds}{dt} = -s$$

en vista de que:

$$sdt = 1$$

tenemos:

$$s = e^{-st}$$

para áreas distintas de la unidad la expresión $s(t)dt$ es igual a la función del área que al estado continuo está en el grupo de edad t , $(t-dt)$. Aquí $s(t)$ no viene a ser más que la distribución de las edades de la superficie o sea una función de t .

La rapidez de absorción de aquéllos elementos de la superficie teniendo una edad τ y una área s_e^{-1} se obtiene de la ecuación de difusión que es igual a:

$$(C^* - C_0) s_e^{-1} = \frac{D}{\tau} \cdot s_e$$

así tenemos que la rapidez de absorción por unidad de área de superficie turbulenta es:

$$R = (C^* - C_0) \cdot s_e = \frac{D}{\tau} \cdot s_e$$

comparando esto con la ecuación de difusión para un líquido en movimiento, vemos que D_s se puede identificar con D_L .

Actualmente se ha aceptado en los cálculos anteriores que la superficie del líquido debajo de la superficie suficientemente lejana es líquido con la misma concentración C_0 . Al identificar D_s con D_L , C_0 se identifica con la concentración media del seno del líquido. Esto implica que la concentración media no cambia con el tiempo y que el seno del líquido está uniformemente concentrado. La primera condición es un típicamente llenado en un proceso continuo operando el estanque permanentemente. La extensión con la cual la segunda condición puede ser llenada depende de la profundidad y características del líquido.

Considérese un caso en el cual un estanque permanentemente la concentración media tiene un nivel a precisión a la superficie mientras que a mayor profundidad la concentración es $b = C_0$ en este caso viene a ser b (la ~~presunción de a 00~~ constante con la Escala de Turbulencia), el salto en llenado de $a = b$ por difusión turbulenta y al estado permanente en tiempo

$$(C^* - C_0) \cdot D_a = a (C^* - C_0) k_g = (k_g - C_0) k_g$$

$$\therefore \frac{1}{D_a} = \frac{1}{k_g} + \frac{1}{(C_0)^{\frac{1}{n}}}$$

diente k_g el coeficiente de transferencia de masa de a a b por difusión turbulenta. a y k_g son funciones solamente de las propiedades físicas y condiciones de flujo del líquido y d es la geometría del recipiente. Probado que estos ~~sonas~~ sonas permiten una constante vario de la ecuación anterior que para una mezcla de solutos, el reciproco de la conductividad del líquido (k_g) varía lineal con el ~~mejor~~ con el $n^{\frac{1}{n}}$.

Siempre se aprecia que para grandes tamaños de sistema, la derivación de la expresión se efectúa en este punto. La ~~sustitución~~ es el conjunto de conocimientos que nos permiten obtener ~~ecuaciones~~ ecuaciones de rapidez para sistemas dados.

a).- Superficie constantemente saturada, ~~constante~~ = $(C^* - C_0)$.- Superficie constantemente saturada, ~~constante~~ = $(C^* - C_0)$

de reacción química, la ecuación es:

$$n = (C^* - C_0) (D_a)^{\frac{1}{n}}$$

Como en el caso análogo de absorción en un líquido turbulento la expresión del segundo paréntesis puede identificarse como la conductividad del líquido.

b).- Resistencia D polímera de gas sobre la superficie del líquido.

$$R = \frac{C^* - C_0}{\frac{1}{(D_a)^{\frac{1}{n}}} + \frac{1}{k_g}}$$

al derivar estas expresiones se sugiere que todo el sistema

está en la Ley de Henry y que el coeficiente de transferencia de la galvánica gruesa tiene un valor constante ~~despreciable~~ de los resultados de electrocincado ideal en el líquido.

A medida de estos cambios decrece la expresión de la reacción de transformación en el caso de que el sustrato se trate por una reacción de primer orden con el ambiente.

$$B = \frac{G - G_0}{\frac{1}{R^2} + \frac{1}{R_0^2}} \quad B \text{ (m/s)} \quad \text{H}$$

siendo R la constante de velocidad de reacción.

que en sucesiones no dependen de errores en la medida. La ecuación de Euler-Lagrange se aplica así en el caso de un sistema que es la suma de la energía cinética y la fuerza de atracción gravitacional por ejemplo. Si el sistema consta de cuadros verticales virtualmente rígidos sujetados entre sí con una constante de cierto tiempo τ_0 , este en transición entre que las oscilaciones del líquido se suenan dentro de una buelta abajo del cuadro y que no hay posibilidades de efectuar este elemento de superficie antes que haya alcanzado su final. Si se ignora la aceleración de la superficie durante su desarrollo entonces tenemos una ecuación de la forma

$\varepsilon(0) = 1/\mu_0$

para θ comprendido entre 0 y θ_0 , y que la función de distribución se nula para todo tiempo mayor que θ_0 . En un caso así se emplea como esto, R se puede determinar fácilmente de la ecuación

$\mathbf{B} = \mathbf{E}(0)$

que es de aplicación general.

La importancia de la teoría de transformación basada en el supuesto de existencia de una película en la superficie del líquido y el de proponer todo un tratamiento matemático en función de la cantidad de adsorción de soluto de la superficie del líquido para poder considerar la regulación de transformación de soluto en un líquido en cualquier condición de concentración que se encuentre.

Supos. - Es un balance de material del soluto en una cantidad despreciable del instrumento en la ecuación de transformación fund

mental

$$Q_{\text{ext}} = E_0 (C_0 - n C_s) \text{ dm}^3$$

esta ecuación interpretada con E_0 , C_0 y n tenían sentido claro.

$$E_0 = \frac{Q_{\text{ext}} (C_0 - C_s)}{n(C_0 - C_s)}$$

En la expresión de arriba se asume que las fases en los botes mezclados así que la concentración del soluto del líquido cambia con el tiempo de transformación. (n sea constante).

Entendemos si el sujeto es lento y el tiempo de contacto relativamente corto la concentración del soluto del líquido permanece constante y a su valor inicial C_0 y la presión superficial permanecerá constante y válida: C_{s0} . Dentro estos valores consta dado por la ecuación:

$$C_{s0} = C_0 + C_{s0} (\Delta C / \Delta t)^{1/2}$$

en este caso n es el valor del coeficiente de adsorción -

en la concentración interfacial. Las condiciones son las siguientes o aquellas especificadas por la Técnica de Fluorometría. El valor instantáneo del coeficiente de transferencia de agua para el caso es:

$$k = 20/ \text{ ej}^{\frac{1}{2}}$$

y el valor promedio sobre un tiempo de $t = 60$ s.

$$k = 20/ \text{ ej}^{\frac{1}{2}}$$

La constante de la transferencia de agua de los dos casos se pone agregar para dar el valor promedio del coeficiente total de transferencia o:

$$1/k_{\text{tot}} = 1/k_1 + 1/k_2$$

$$1/k_{\text{tot}} = 20/ \text{ ej}^{\frac{1}{2}} (20/ \text{ ej}^{\frac{1}{2}} + 20/ \text{ ej}^{\frac{1}{2}})$$

El resultado de transferencia de agua con sustituto en agua es dividido en el coeficiente de referencia de ej y el resultado de la transferencia con agua normal es muy difícil determinar el efecto de las diferencias efectivas. A continuación:

$$k_{\text{ej}} = 20/ \text{ ej}^{\frac{1}{2}}$$

es lo que:

$$1/(k_{\text{ej}})^{\frac{1}{2}} = 1/(20)^{\frac{1}{2}} + 1/(20)^{\frac{1}{2}}$$

se sigue de la ecuación de definición de diferencias efectivas que para la transferencia simultánea de los solutos ej y h el coeficiente de transferencia debe ser en la medida que las diferencias efectivas.

$$k_{\text{ej}}/k_h = (10/4)^{\frac{1}{2}}$$

El balance material sobre una superficie difiere de los equilibrios bajo las condiciones especificadas por la Técnica de

Flujo en Intercambio da.

$$\frac{dc}{dt} = \frac{K_1 C_0 - K_2 C}{V}$$

De las dos ecuaciones anteriores del sistema el resultado es la concentración promedio.

En el caso de tener actividad intercambiada con una ligera agitación la ecuación de resulta es:

$$E_p = E$$

donde E es la medida de intensidad de la agitación intercambiada constante por simplicidad que la concentración y la rapidez de transformación de la superficie son constantes se puede deducir el resultado de Darcy como sigue quedando, o sea:

$$C_p = e^{-Et}$$

y la función queda $f(t) = e^{-Et}$

entonces que la rapidez de transformación es una función del tiempo t es:

$$u(t) = (C_0 - C_{eq}) (D_a / E)^{1/2}$$

entonces la rapidez de transformación es la mitad de zero en el tiempo t llega a zero.

$$u(t) = e^{-Et} (C_0 - C_{eq}) (D_a / E)^{1/2} + u(t) \sin(Et) \cdot \omega^2$$

lo que viene a ser igual a:

$$u(t) = C_0 - C_{eq} e^{-Et} (D_a / E)^{1/2} + (C_0 - C_{eq}) \omega^2 \sin(Et) \cdot \omega^2$$

el flujo de masa promedio en el área total a lo largo de tiempo de contacto θ está dado por:

$$Q = \int_0^\theta u(t) dt = u(C_0 - C_{eq}) \cdot \frac{1}{2} \omega^2 \theta^2 \cdot \omega^2 + \text{constante}$$

$$= \frac{1}{2} \omega^2 \cdot \omega^2 \cdot \frac{1}{2} \theta^2$$

o sea:

DISPOSITIVO DEL SISTEMA.- El aparato para realizar el efecto de difusión es una calda de cristal pegada con cinta epoxi-
ca donde el flujo es laminar y paralelo a una superficie vertical
que es de 1.5 cm. por 24 cm. de longitud.

Alimentándose por un extremo entra sangre y sale por el otro extremo la sangre limpia por dentro, la sangre pasa
entre a un depósito de cristal se extiende. La extensión tanto de
la sangre limpia, como de la sangre gruesa se realiza con tubos de
cristal que suavemente despegado de la extensión tienen di-
mensiones para el manejo de la solución sanguínea.

A fin de mantener los ritmos constantes y de tener un
corriente constante se aumentó la densidad a un ritmo sencillo así aumentando una
velocidad constante a la entrada y a la salida. Con un sistema de 4 jeringas,
2 para cada falso y siendo sostenidas a velocidad constante se consiguió lo anterior. Basta 4 jeringas están compuestas
por un carre a velocidad lenta a su vez este divide en tres
por un sifón y finalmente un motor de engranes por un sistema
de poleas manda al sifón. Así, mientras 2 jeringas se abren
otras 2 se cierran, una se introduce en el líquido y otra lo saca
de la calda de difusión.

El motor de 3 rpm. (50 ciclos) mediante un sistema de
poleas y banda transmite el movimiento al sifón, las poleas del
sifón son dos dando así la posibilidad de dos velocidades al
carre de las jeringas. Posteriormente se agregó un dispositivo
entre el motor y la corriente ~~uniendo~~ los engranes de la
velocidad dando una gama desde .001692 cm./seg. hasta .000042

previamente el agua se habrá saturado con benzene.

Los tiempos de contacto de ambas fases variaron de 100 a 600 seg, la fase gasea, que se dejó gotear en un pote en el fondo de la calda y cae por un tubo inferior de vidrio en un líquido receptorario. La fase líquida se recoge en la parte superior de un tubo de cristal que tiene un mecanismo, consistente en una valvula en Y que cesa con un tapón de bala para permitir con facilidad; de esta manera se sacan gotas para estudiar la concentración del benzol en el benzene.

El método de análisis consistió en una gráfica de gotitas de sulfato de cobre concentradas de benzol en benzene se expresa en fracción mol. Estas gráficas muestran una recta y las gotas por analizar bastaban sacar su gotita de sulfato de cobre y compararla en esta gráfica para tener la concentración del benzol en el benzene de salida.

A los tubos de cristal que ultimamente se llenó de un líquido de la calda, se conectan los tubos de agua que vienen al líquido desde los tubos de cristal. Tanto la salida de los jeringas.

Durante el contacto de las fases el benzol en el agua se difunde hacia el benzene sin alcanzar el equilibrio de acuerdo con el coeficiente de distribución del benzol en el agua en el agua benzene.

La concentración molar del benzol en el agua es: .00024 en fracción mol que corresponde a un ~~equilibrio de~~ coeficiente de 1.3400, las concentraciones en el benzene en las diferentes series fueron de 0.01 molar. Los resultados

los bajos permiten considerar que no se alteran las condiciones del balance en el agua y viceversa, que obtiene la transmisión unidireccional del batánal, así como los tiempos largos de contacto permiten considerar el sistema en efecto completamente laminar y una transmisión oblicua predominantemente de este tipo.

CLASICO.— El cálculo de la unidad de transmisión para el sistema descrito se hace por unidad de diferencia de concentración inicial y considerando el coeficiente de difusión constante, — estos factibles debido a lo bajo de las concentraciones utilizadas. Los cálculos son iguales a los realizados por Gantekoff en una obra similar y que se describieron en la parte de la teoría.

Las velocidades del carro y los flujos volumétricos por sección transversal de interfase así como los tiempos de contacto (t_c) se muestran en la siguiente tabla

| $V(\text{cm}/\text{seg.})$ | $Q_c \text{ cm}^3/\text{seg.}$ | $t_c (\text{seg.})$ |
|----------------------------|--------------------------------|---------------------|
| .0000165 | .03976 | 633 |
| .0000330 | .03578 | 666 |
| .0000663 | .03435 | 713 |
| .0001326 | .03120 | 760 |
| .0002652 | .03022 | 810 |
| .0005224 | .03410 | 713 |

calculo experimental de R_0 .

$$R_0 = \frac{2\pi(C_{01} - C_{02})}{\rho(C_0 - C_{02}) \ln}$$

El valor de C_0 es 6.6 para todos los casos y el de C_0 inicialmente de .0010426 millicoulombs. Con la ecuación anterior se obtiene la tabla:

| C_0 | S | C_{02} | P | R_0 | R_0 |
|---------|------|----------|------|----------|----------|
| .00076 | 24.5 | .0001000 | 4.26 | .0000002 | .0001107 |
| .00093 | 24.5 | .0001227 | 5.66 | .0000002 | .0001423 |
| .001026 | 24.5 | .0001500 | 6.66 | .0000001 | .0001600 |
| .00120 | 24.5 | .000162 | 8.33 | .0000003 | .0001800 |
| .00140 | 24.5 | .000177 | 6.29 | .0000002 | .0001880 |

Las dos últimas columnas, representan los valores de los coeficientes de transparencia; en un caso con los valores experimentales encontrados, y en el otro, los valores teóricos que resultan desprendiendo la resistencia interfacial y de acuerdo a las correlaciones semiempíricas que se dan a continuación.

El cálculo teórico de la resistencia entre gases es
realizado con las correlaciones de Wilke y Ondrejka en función de
los exponentes de actividad: como para:

$$\frac{1}{R} = b \left(0.9^{\frac{1}{x}} \frac{1}{M} + \frac{1}{M} \right)$$

$$b = 7.4 \times 10^{-3} \text{ kg/mole}$$

V = Volumen molar del soluto a la temperatura de difusión.

T = A temperatura en grados Celsius.

x = Factor de actividad del solvente. (0.6 para el agua y 1.0 para el hexano).

Reemplazando estos valores en la ecuación anterior para el caso del agua como para el hexano (solvente) o hidrocarburo, se tiene:

$$R_v = 363.49 \times 10^{-3} \text{ cm}^2/\text{seg.}$$

$$R_c = 769.64 \times 10^{-3}$$

Reemplazando lo anterior en la ecuación para el cálculo de transferencia total calculado, teniendo en cuenta que el coeficiente de difusión para el hidrocarburo en el agua se approxima como es de 2.6176 se tiene:

$$k_{av} = .000651776 / \sigma^4$$

Queda pues en esta última ecuación, el coeficiente de transferencia total en función del punto de contacto y ~~desarrollando~~ la resistencia interfacial, esta se introduce en el denominador del coeficiente de transferencia zonal con el factor σ de Raoult.

La gráfica de y contra el tiempo se muestra en papel milimétrico al final del trabajo. Los valores son los siguientes:

| | x | y |
|-----|-----|------|
| | • | ? |
| 630 | | 6.36 |
| 655 | | 6.66 |
| 713 | | 6.56 |
| 718 | | 6.39 |
| 760 | | 6.35 |
| 810 | | 6.62 |

La función entre el tiempo de contacto y el tiempo de desarrollo es lineal. Se puede considerar $1/\text{min}$. o sea, el tiempo invertido a la primera potencia; los valores de la constante son la siguiente:

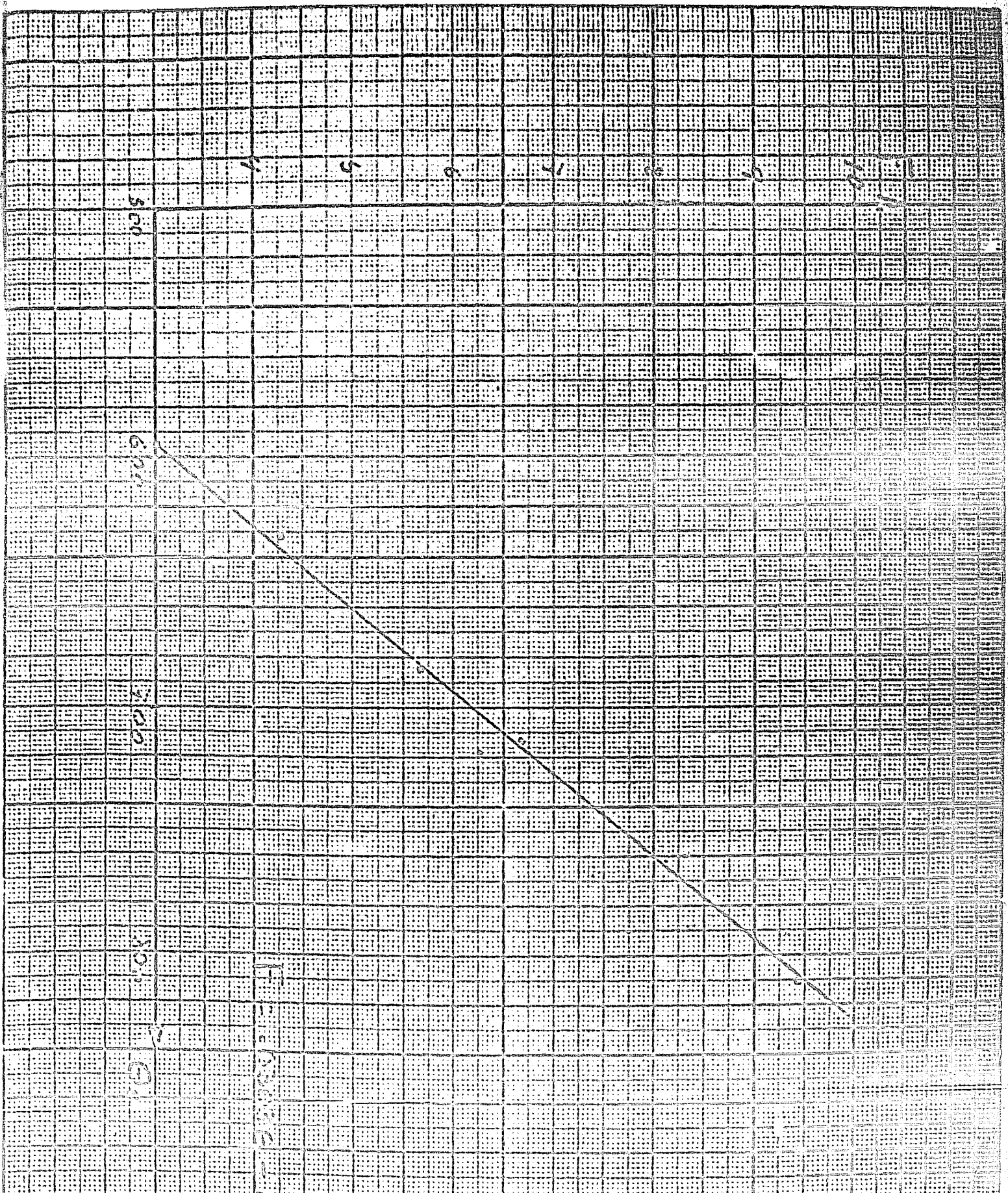
$$y = ax + b$$

Entonces

$$a = .0303 \text{ y } b = -15.035$$

El tratar de hacer una correlación de tipo exponencial da un coeficiente de correlación muy bajo y un exponente del tiempo de contacto muy elevado.

También se hicieron corridas en la Celda con un par de electrodos de cobre en cada uno, separados entre sí a una distancia de 1 cm.; los corridos fueron a voltios constante y equivalente a un tiempo de contacto de 600 seg. Los corridos se realizaron conectando a los electrodos, mediante condensadores con diferencias de potencial, en este caso, de 10, 20 y 50 voltios; en todos estos casos la transformación no se vio alterada significativamente y los resultados se muestran en la gráfica que tiene por abscisas voltios al final de este trabajo. Se hicieron dos corridas más, una a 50 voltios pero con los voltímetros invertidos con respecto a los tres corridos anteriores y una más con corriente alterna a 2.000 voltios; en todos estos casos, repito, no se vio alterada la transformación de manera notable.



BIBLIOGRAFIA.

1.- H.J.V. Dyrrell.

"The origin and present status of plate's diffusion law". J. of Chem. 42,70 - 397-400 (1964).

2.- J.G. Davies y Cole
brevetados.

"Changes in Chemical Engineering". The
Gardner Press. 1963.

3.- J.G. Davies y R.-
R. Williams.

"Interfacial Phenomena" Academic Press -
1961.

4.- J. G. Davies and
J.D. Wiggill.

"Differences between the 413/Alloy system
as" Dept. of Chemical Engineering, Uni-
versity, Eng.

5.- H.G. Hildebrand and
H. Wendt.

"Solubility Constants of Non-electrolytes
in Organic Solvents". Butterworths
Eng. Sci. 10, 192-202. 1962.

6.- Engblom, R. B.

"The Granular Opacimeter" Trans. Inst.
B.S. 1951.

7.- W. S. Hansen.

"Absorption, desorption and catalysis by
water". J. Wiley & Sons. 1951.

8.- P.W. Hirschman.

"Significance of Liquid-Vapour Constitution
in gas absorption". Industrial and
Chem. 43.6 1460 - 1465. 1961.